

# Fundamentos de Cosmologia

*Aula 7*

**AST-413-4 - INPE - 2020-3**

Prof. Dr. Carlos Alexandre Wuensche  
Prof. Dra. Christine Córdula Dantas

# 7. A Matéria Escura

- ❖ 7.0 Introdução
- ❖ 7.1 A Matéria Visível
- ❖ 7.2 A Matéria Escura em Galáxias
- ❖ 7.3 A Matéria Escura em Aglomerados de Galáxias
- ❖ 7.4 Lentes Gravitacionais
- ❖ 7.5 A Natureza da Matéria Escura

## 7.0 Introdução

Conteúdo de matéria no Universo

# Conteúdo de matéria no Universo

## Standard Model of Elementary Particles

three generations of matter (fermions)			interactions / force carriers (bosons)	
I	II	III		
mass $\approx 2.2 \text{ MeV}/c^2$	mass $\approx 1.28 \text{ GeV}/c^2$	mass $\approx 173.1 \text{ GeV}/c^2$	0	$\approx 124.97 \text{ GeV}/c^2$
charge $\frac{2}{3}$	charge $\frac{2}{3}$	charge $\frac{2}{3}$	0	0
spin $\frac{1}{2}$	spin $\frac{1}{2}$	spin $\frac{1}{2}$	1	0
<b>QUARKS</b> u up	c charm	t top	g gluon	H higgs
d down	s strange	b bottom	$\gamma$ photon	
e electron	$\mu$ muon	$\tau$ tau	Z Z boson	
<b>LEPTONS</b> $\nu_e$ electron neutrino	$\nu_\mu$ muon neutrino	$\nu_\tau$ tau neutrino	$\pm 1$ W W boson	
<b>GAUGE BOSONS</b> vector bosons				

o que conhecemos  
no lab

# Conteúdo de matéria no Universo

## Standard Model of Elementary Particles

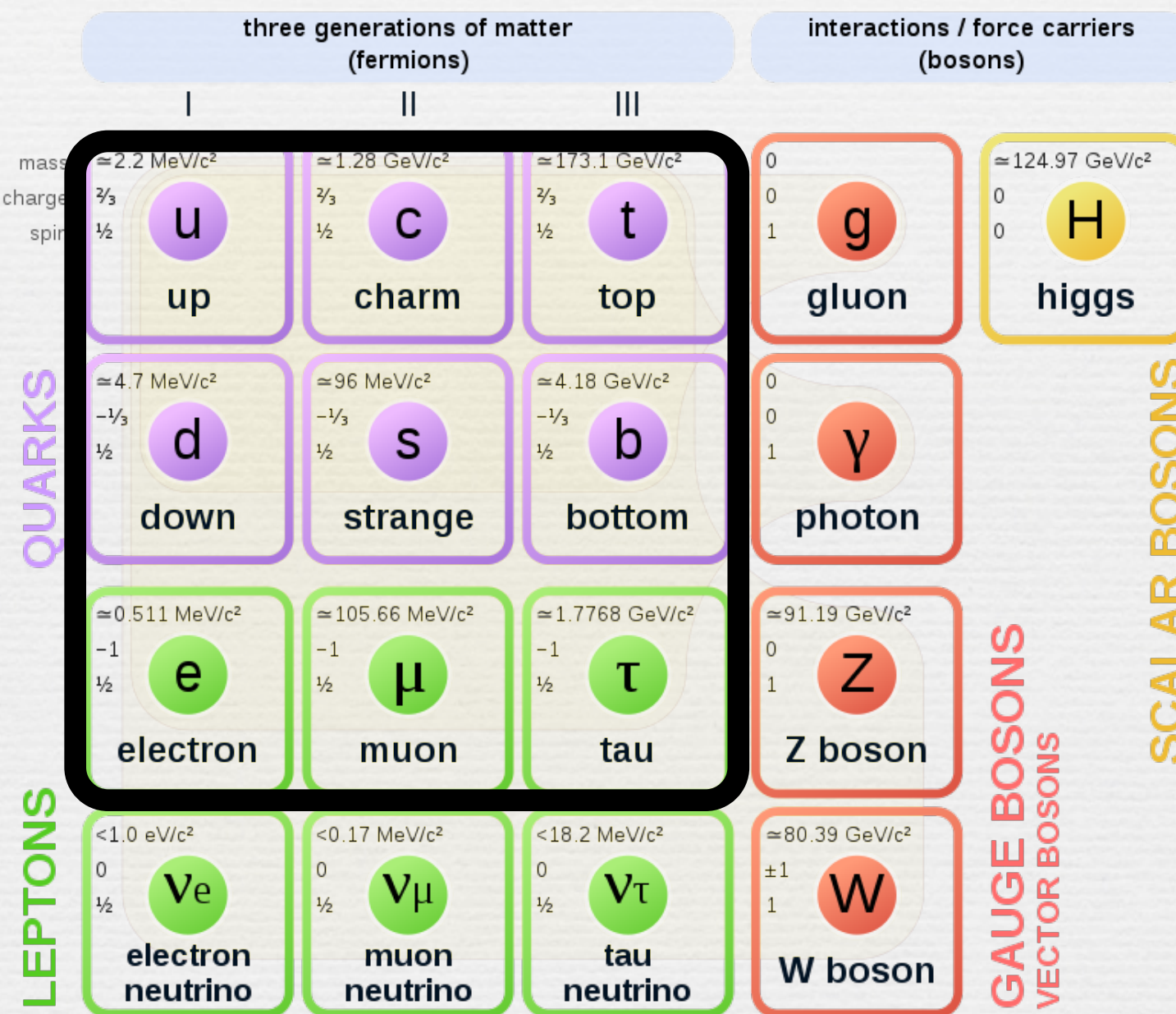
three generations of matter (fermions)			interactions / force carriers (bosons)	
I	II	III		
mass $\approx 2.2 \text{ MeV}/c^2$	mass $\approx 1.28 \text{ GeV}/c^2$	mass $\approx 173.1 \text{ GeV}/c^2$		
charge $2/3$	charge $2/3$	charge $2/3$		
spin $1/2$	spin $1/2$	spin $1/2$		
<b>QUARKS</b>				
u up	c charm	t top	g gluon	H higgs
d down	s strange	b bottom	$\gamma$ photon	
leptons				
e electron	$\mu$ muon	$\tau$ tau	Z Z boson	<b>SCALAR BOSONS</b>
$\nu_e$ electron neutrino	$\nu_\mu$ muon neutrino	$\nu_\tau$ tau neutrino	W W boson	<b>GAUGE BOSONS</b> <b>VECTOR BOSONS</b>

bariônica

Bárions:  
prótons e nêutrons

# Conteúdo de matéria no Universo

## Standard Model of Elementary Particles

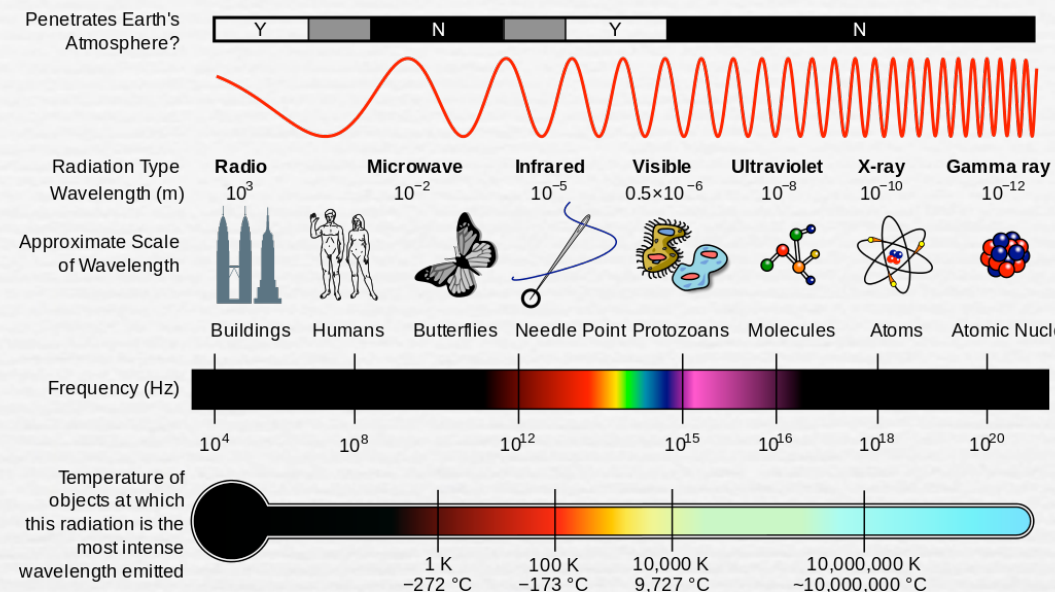


Bárions:

Para *cosmólogos*: matéria atômica normal, o que inclui os elétrons... mas estes contribuem apenas em  $\sim 0.0005$  da massa atômica, então são praticamente desprezíveis.

*Nota:* neutrinos são considerados não-bariônicos.

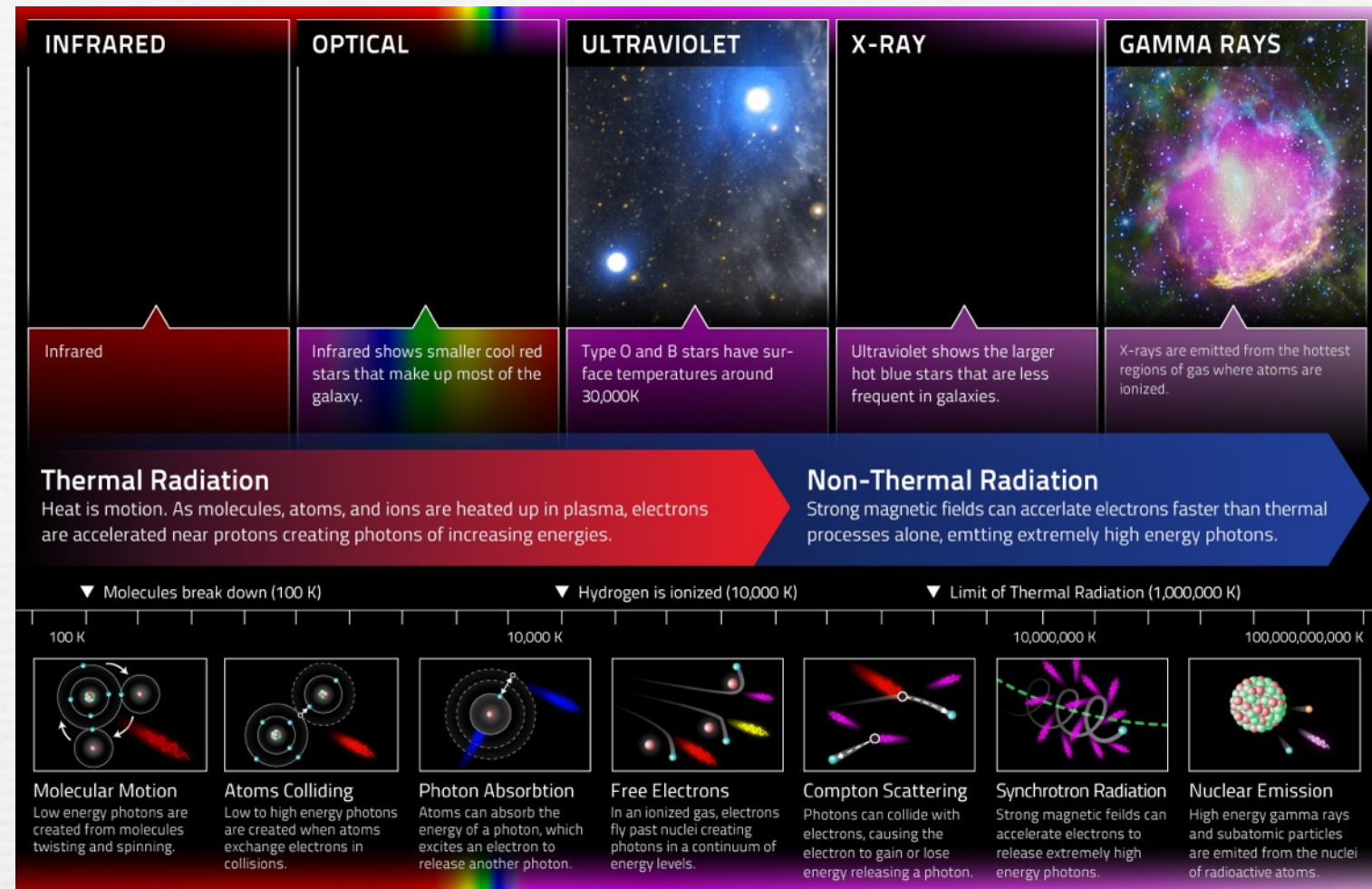
## 7.0 Introdução



Wikipedia

A matéria bariônica é detectada pelos fôtons que emitem / absorvem.

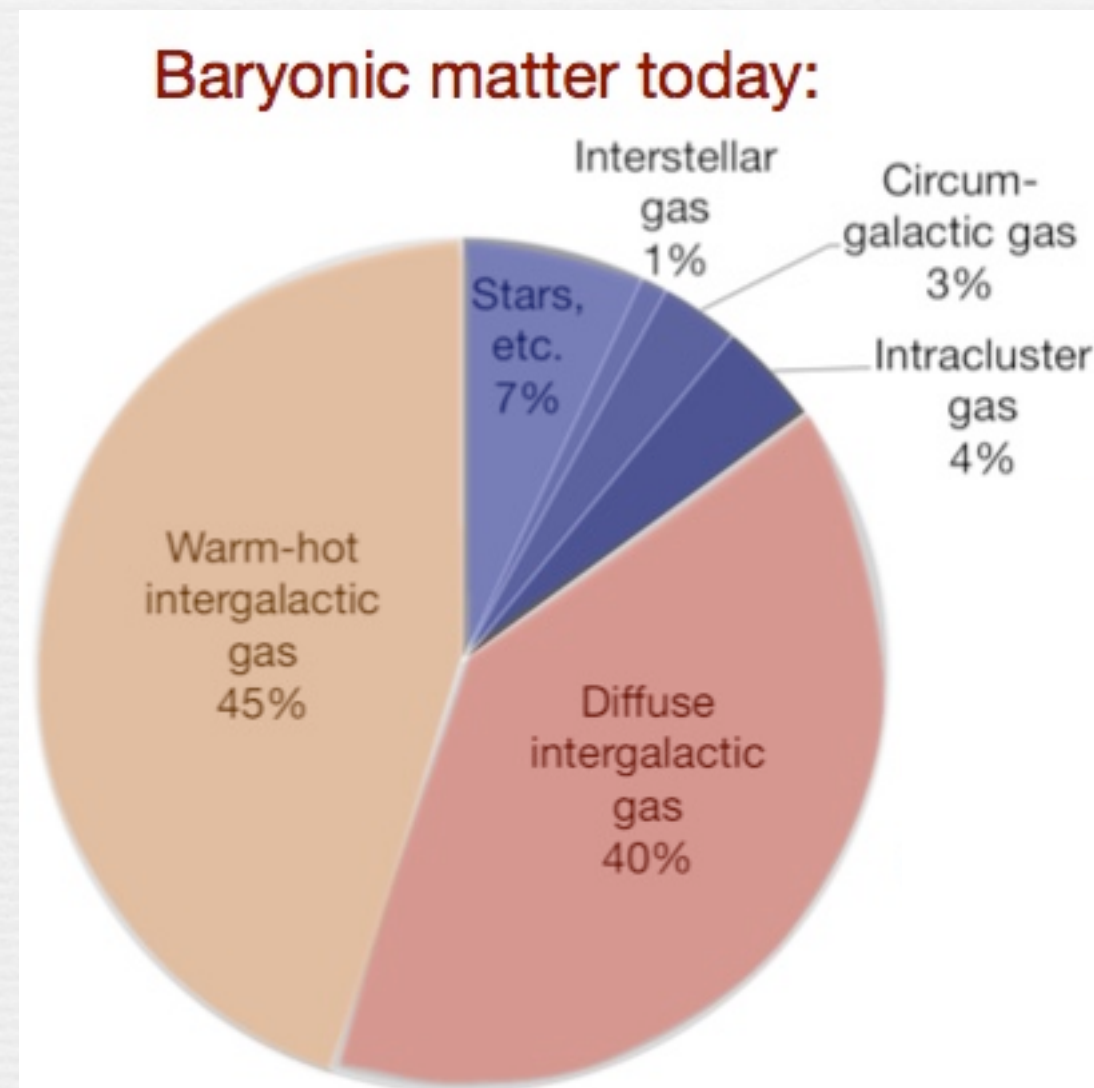
Também pode ser detectada indiretamente por efeitos gravitacionais que provocam perturbações em corpos vizinhos.



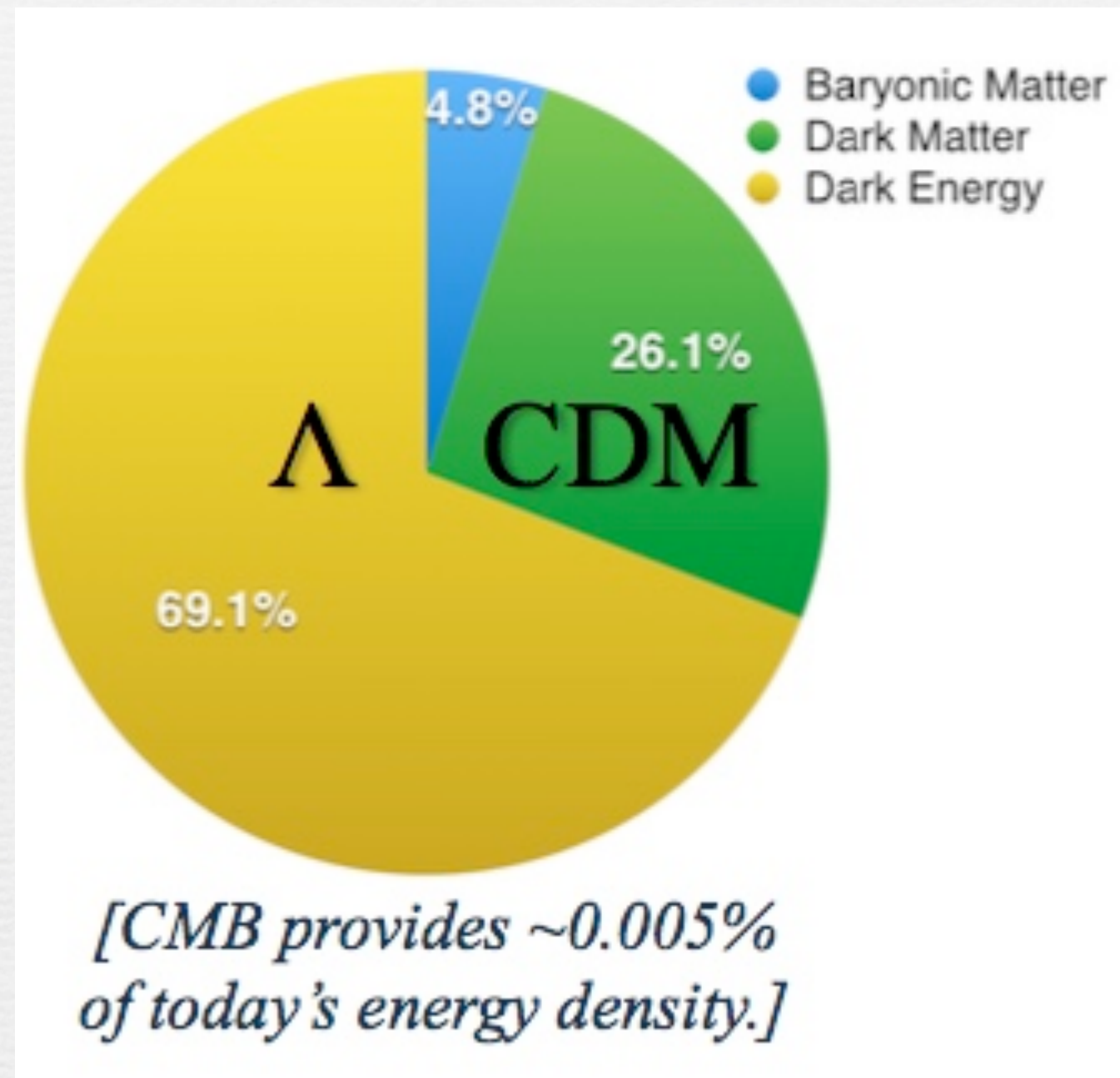
Buracos negros também são considerados matéria bariônica pelos cosmólogos, mas é bom ter em mente que, ao ser adicionada ao BN, a matéria “perde” sua distinção (bariônica ou não), já que BNs não possuem “cabelo”.



A matéria bariônica, quando detectada por efeitos gravitacionais, é usualmente nomeada “massa faltante” (“missing mass”).  
Ou seja, é matéria escura bariônica.



Porém, há evidências de que o Universo tem um tipo de **matéria escura que não é bariônica**.



Porém, há evidências de que o Universo tem um tipo de **matéria escura que não é bariônica.**

- Curvas de rotação e dinâmica de galáxias
- Dinâmica de aglomerados de galáxias
- Lentes gravitacionais
- Picos acústicos da CMBR (razão DM/bárion)
- Espectro de potência da matéria e formação de estruturas (razão DM/bárion)
- Colisões de aglomerados de galáxias

### Características da **matéria escura não-bariônica**.

- Massiva (atrai gravitacionalmente e gera aglomeração)
- Fria (não-relativística)
- Acolisional
- Escura (não emite / absorve radiação EM)
- Não interagente ou fracamente interagente (ie, interações de origem não-gravitacional não foram detectadas)

## Matéria escura não-bariônica.

“gravidade  
escura”???

# Matéria escura não-bariônica.

“gravidade  
escura”???

## Modificações da RG:

- Teorias de campo escalar
- Teorias bimétricas
- Teorias quasi-lineares
- Teorias tensoriais (eg.,  $f(R)$ , Gauss-Bonet, etc)
- Teorias escala-tensoriais
- Teorias vetor-tensoriais
- Teorias não-métricas
- Quintessência
- Teorias de Moffat
- MOND relativístico
- ETC...

## O que não sabemos sobre a **matéria escura não-bariônica?**

- Sua natureza fundamental
- Como se formou primordialmente
- Se possui alguma interação não-gravitacional com as outras partículas do modelo padrão
- Se possui alguma interação não-gravitacional consigo mesma
- Se seria na verdade uma manifestação de “gravitação escura”, seja inteiramente ou parcialmente acoplada com esta.

$$\Omega_{m,0}$$

Nesta aula, estamos interessados em estudar métodos que estimem o **parâmetro de densidade de matéria total no tempo atual** e, para tanto, assumiremos que a matéria escura não-bariônica se manifesta como partículas, gerando uma densidade de energia equivalente, tal como no caso da matéria bariônica.

## 7.1 A Matéria Visível

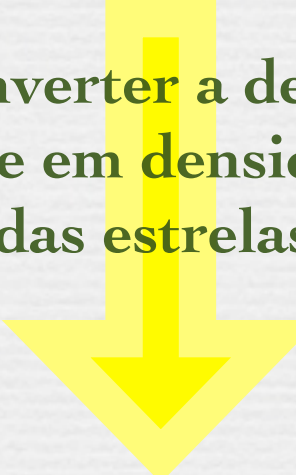
Banda-V:  $500 \text{ nm} < \lambda < 590 \text{ nm}$

$$L_{\odot,V} \approx 0.12L_{\odot} \approx 4.6 \times 10^{25} \text{ watts}$$

Densidade de luminosidade de galáxias locais, baseada em surveys na banda-V:

$$\Psi_V = 1.1 \times 10^8 L_{\odot,V} \text{ Mpc}^{-3} \quad (d \lesssim 0.1c/H_0)$$

Como converter a densidade de  
luminosidade em densidade de massa  
das estrelas?


$$\rho_*$$

## 7.1 A Matéria Visível

$$\Psi_V = 1.1 \times 10^8 L_{\odot, V} \text{ Mpc}^{-3}$$

Como converter a densidade de  
luminosidade em densidade de massa  
das estrelas?



Razão Massa/  
Luminosidade (M/L)  
das estrelas

$$\rho_*$$

## 7.1 A Matéria Visível

$$\Psi_V = 1.1 \times 10^8 L_{\odot,V} \text{ Mpc}^{-3}$$

Como converter a densidade de luminosidade em densidade de massa das estrelas?



Razão Massa/  
Luminosidade (M/L)  
das estrelas

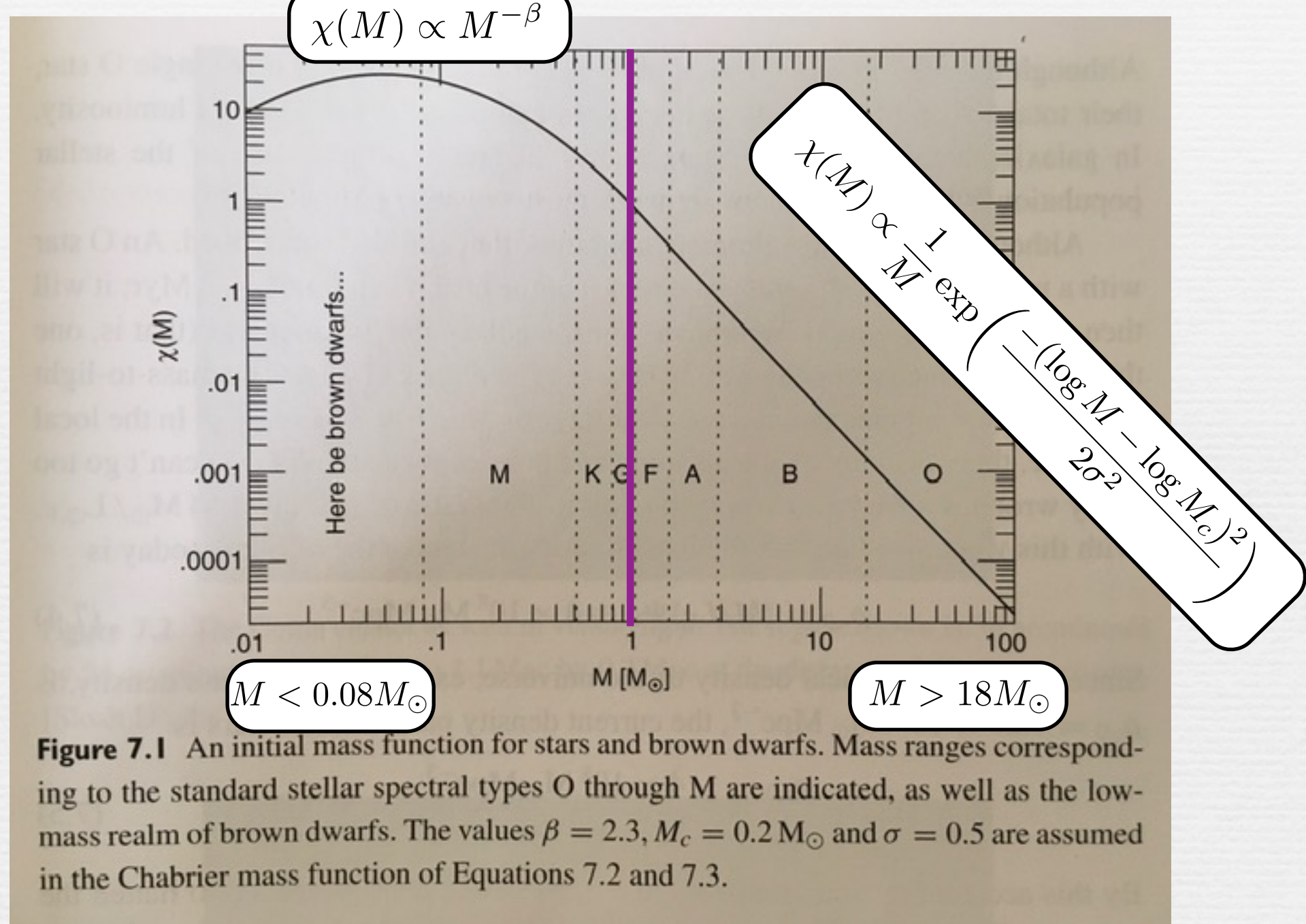
Se todas as estrelas fossem idênticas ao Sol...

$$\langle M/L_V \rangle = 1 M_\odot / L_{\odot,V}$$

Mas as estrelas têm propriedades diferentes.

Estrelas tipo O:  $M/L_V = 60 M_\odot / 20000 L_{\odot,V} \approx 0.003 M_\odot / L_{\odot,V}$

Estrelas tipo M:  $M/L_V = 0.1 M_\odot / 5 \times 10^{-5} L_{\odot,V} \approx 2000 M_\odot / L_{\odot,V}$



**Figure 7.1** An initial mass function for stars and brown dwarfs. Mass ranges corresponding to the standard stellar spectral types O through M are indicated, as well as the low-mass realm of brown dwarfs. The values  $\beta = 2.3$ ,  $M_c = 0.2 \text{ M}_\odot$  and  $\sigma = 0.5$  are assumed in the Chabrier mass function of Equations 7.2 and 7.3.

## Função de massa inicial

$$\chi(M)$$

250 estrelas tipo M para cada estrela tipo O.

Porém a luminosidade total (banda-V) dessas 250 estrelas tipo M é muito menor do que a de uma estrela tipo O.

Para galáxias com formação estelar ativa:

$$M/L_V \approx 0.3 M_\odot / L_{\odot, V}$$

**Estrelas tipo O, apesar de muito luminosas, têm uma vida breve.**

**Ex:**  $M = 60M_{\odot} \Rightarrow t \approx 3 \text{ Myr}$

**Galáxias quiescentes serão deficientes em estrelas O.**

$$M/L_V \approx 8M_{\odot}/L_{\odot,V}$$

**Universo local: mistura de galáxias ativas e quiescentes.**

$$\langle M/L_V \rangle \approx 4M_\odot/L_{\odot,V}$$

**Usando o valor acima, temos:**

$$\rho_{*,0} = \langle M/L_V \rangle \Psi_V \approx 4 \times 10^8 M_\odot \text{ Mpc}^{-3}$$

$$\Omega_{*,0} = \frac{\rho_{*,0}}{\rho_{c,0}} \approx 0.003$$

$$\rho_{c,0} = 1.28 \times 10^{11} M_\odot \text{ Mpc}^{-3}$$

**Incluindo anãs brancas, estrelas de nêutrons e buracos negros:**

$$\Omega_{*,0} < 0.005$$

**Galáxias também contêm matéria bariônica sem ser estrelas: gás interestelar.**

**Há também gás intergaláctico, por ex., em aglomerados de galáxias.**

**Ex.: Aglomerado de Coma.**  $L_{Coma,V} \approx 5 \times 10^{12} L_{\odot,V}$

Se (em estrelas):  $\langle M/L_V \rangle \approx 4M_{\odot}/L_{\odot,V}$   
 $M_{Coma,*} \approx 2 \times 10^{13} M_{\odot}$

Esse valor é  $\sim 10$  vezes menor do que a massa do gás quente intergaláctico (observado em raios X):

$$M_{Coma,gas} \approx 2 \times 10^{14} M_{\odot}$$

$$T \approx 10^8 K$$

$$E \sim kT \sim 9 \text{ keV}$$

Cerca de 85% dos bárions no Universo estão na forma de gás extremamente tênue no espaço intergaláctico, fora de galáxias e de aglomerados de galáxias, difíceis de detectar.

Observações da CMBR e previsões da nucleossíntese no Universo primordial fornecem a melhor estimativa para o limite superior da densidade de bárions no Universo atual.

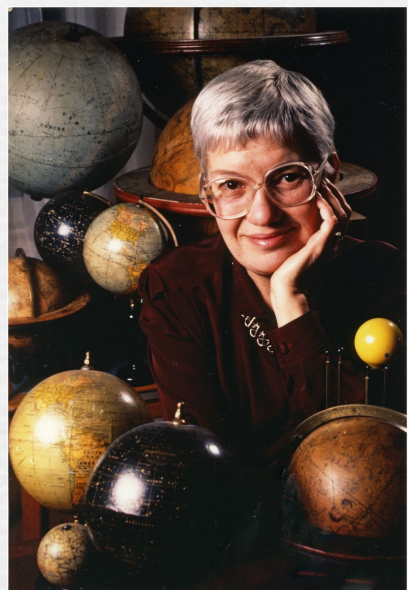
Propriedades das flutuações de temperatura da CMBR dependem da razão bárions/fóttons.

Eficiência da nucleossíntese (conversão de H em D, He, Li, etc) depende da razão bárions/fóttons.

$$\Omega_{bar,0} = 0.048 \pm 0.003 \sim 10 \times (20 \times) \Omega_{*,0}$$

## 7.2 A Matéria Escura em Galáxias

Em evidência observational da matéria escura não-bariônica através do estudo das curvas de rotação de galáxias.



Vera Rubin  
(1928-2016)

### ROTATION OF THE ANDROMEDA NEBULA FROM A SPECTROSCOPIC SURVEY OF EMISSION REGIONS\*

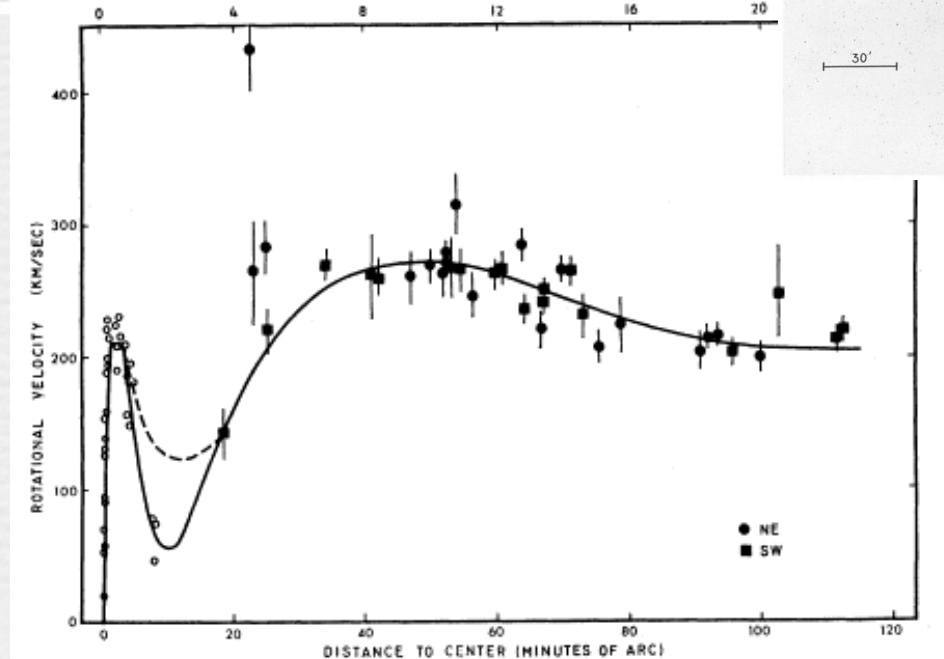
VERA C. RUBIN† AND W. KENT FORD, JR.†

Department of Terrestrial Magnetism, Carnegie Institution of Washington and Lowell Observatory, and Kitt Peak National Observatory‡

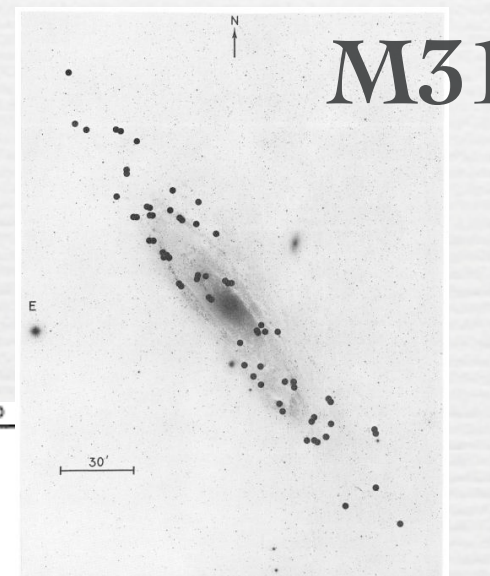
Received 1969 July 7; revised 1969 August 21

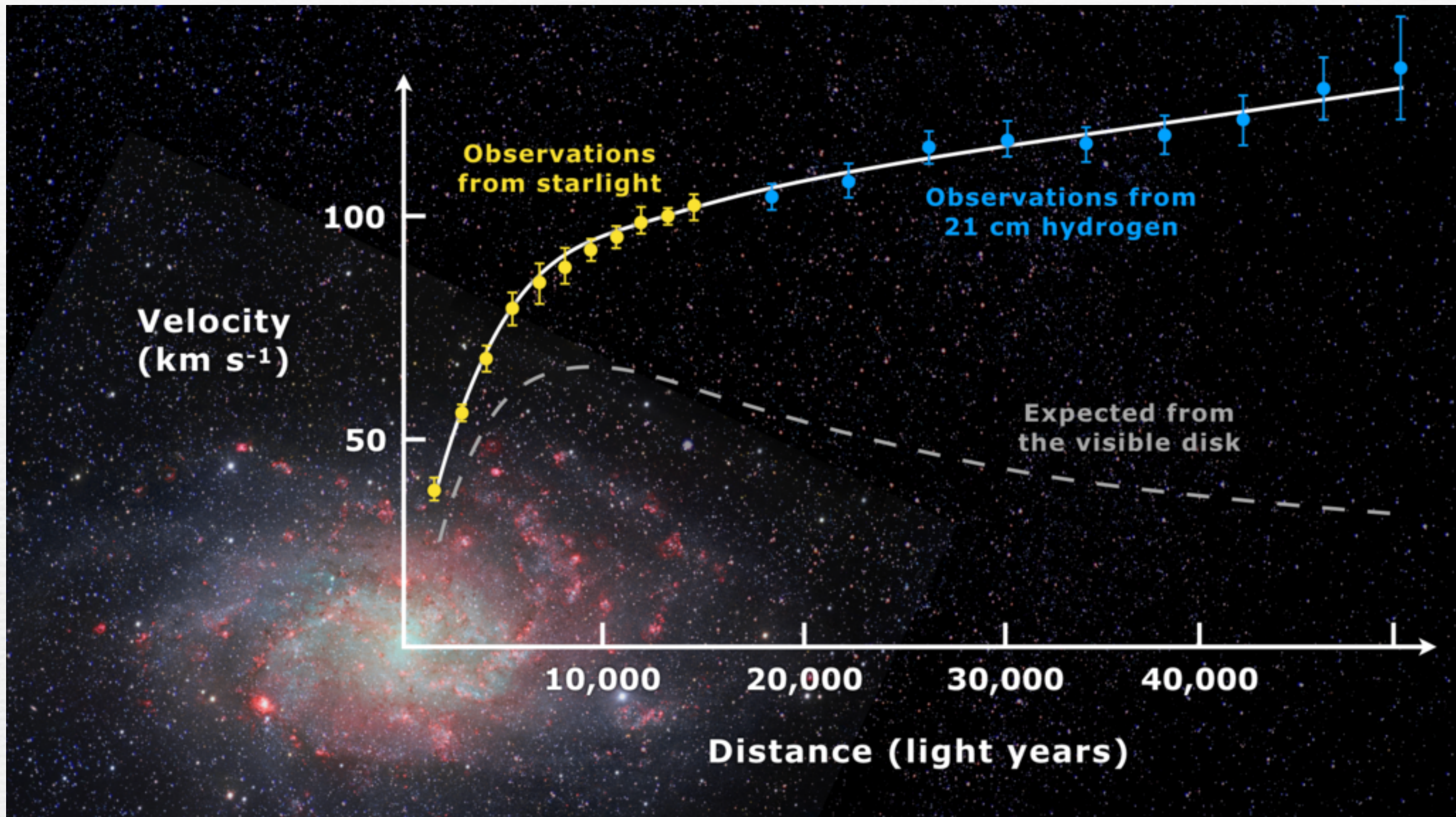
#### ABSTRACT

Spectra of sixty-seven H II regions from 3 to 24 kpc from the nucleus of M31 have been obtained with the DTM image-tube spectrograph at a dispersion of  $135 \text{ \AA mm}^{-1}$ . Radial velocities, principally from H $\alpha$ , have been determined with an accuracy of  $\pm 10 \text{ km sec}^{-1}$  for most regions. Rotational velocities have been calculated under the assumption of circular motions only.



ApJ, 159, 379 (1970)





## 7.2 A Matéria Escura em Galáxias

**Suponha uma estrela em órbita circular em torno do centro de sua galáxia hospedeira, com raio da órbita R.**

Assumindo uma distribuição esfericamente de massa, onde  $M(R)$  é a massa no interior de uma esfera de raio  $R$  e  $v$  é a velocidade orbital da estrela:

$$|a_{\text{centrip}}| = \frac{v^2}{R} = |F_{\text{grav}}| = \frac{GM(R)}{R^2}$$

**Nota:** outras distribuições de massa implicam numa pequena correção para esta equação.

$$v = \sqrt{\frac{GM(R)}{R}}$$

**M(R) torna-se constante a partir de um certo R.**

$$v \propto \frac{1}{\sqrt{R}}$$

**Rotação Kepleriana**

Perfil do brilho superficial  $I(R)$  para galáxias espirais:

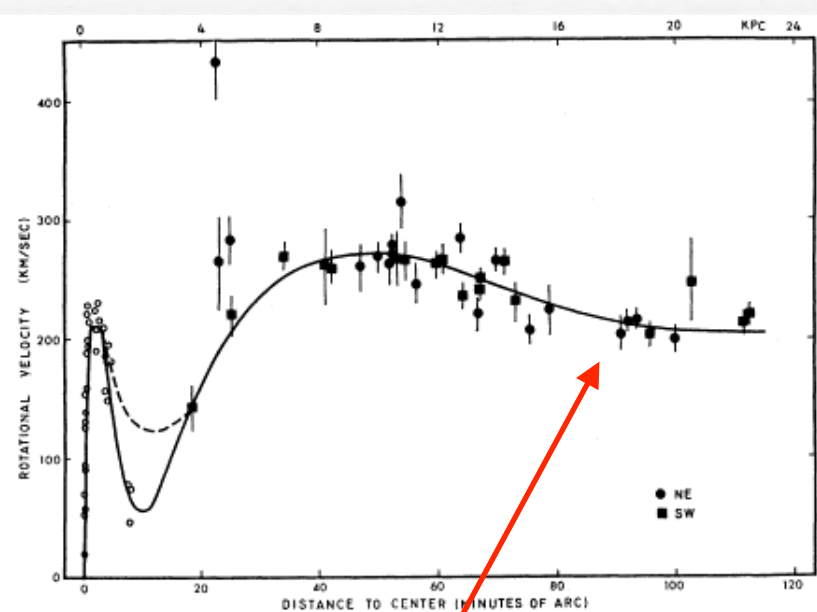
$$I(R) = I_0 \exp\left(-\frac{R}{R_s}\right)$$

**Na banda-B:**

- MW:  $R_s \approx 4$  kpc  
M31:  $R_s \approx 6$  kpc

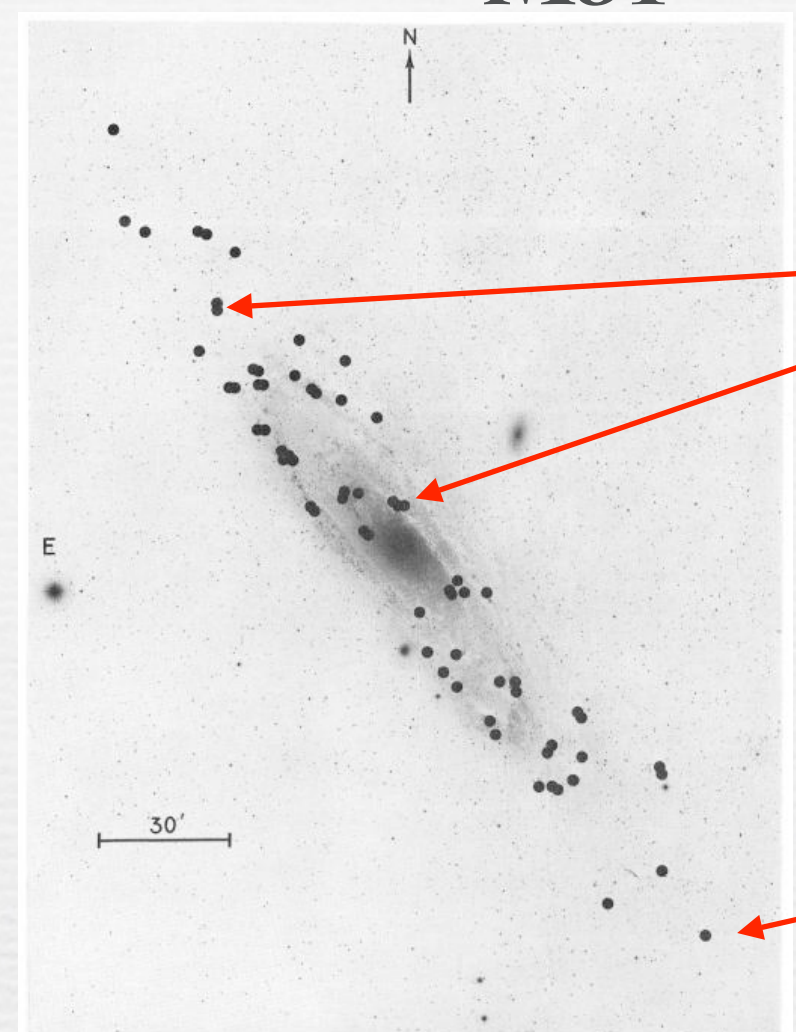
## 7.2 A Matéria Escura em Galáxias

M31



ApJ, 159, 379 (1970)

Velocidade orbital até  
 $R = 24 \text{ kpc} = 4R_s$   
(gás quente).



Linhas de emissão em regiões de gás quente ionizado: observações do deslocamento Doppler para obtenção da velocidade orbital.

Para  $R$  até  $\sim 6R_s$ , linha de 21 cm do H

**Curva não-Kepleriana: indicação da presença de um halo escuro (também em outras galáxias espirais).**

## Aplicação para a Via-Láctea (MW):

$$M(R) = \frac{v^2 R}{G} = 1.05 \times 10^{11} M_{\odot} \left( \frac{v}{235 \text{ km s}^{-1}} \right)^2 \left( \frac{R}{8.2 \text{ kpc}} \right)$$

$$\langle M/L_V \rangle_{\text{MW}} \approx 64 M_{\odot}/L_{\odot,V} \left( \frac{R_{\text{halo}}}{100 \text{ kpc}} \right)$$

$$v = 235 \text{ kpc}$$

$$L_{\text{MW},V} \approx 2.0 \times 10^{10} L_{\odot,V}$$

**Estimativa via aglomerados globulares e galáxias satélites:**  $R_{\text{halo}} \approx 75 \text{ kpc}$

$$M_{\text{MW}} \approx 9.6 \times 10^{11} M_{\odot}$$

$\langle M/L_V \rangle_{\text{MW}} \approx 48 M_{\odot}/L_{\odot,V}$  **~ 10 vezes maior do que a M/L em estrelas no disco da MW: halo muito mais massivo.**

**Talvez Rhalo seja ainda maior (~ 300 kpc), elevando esses valores significativamente.**

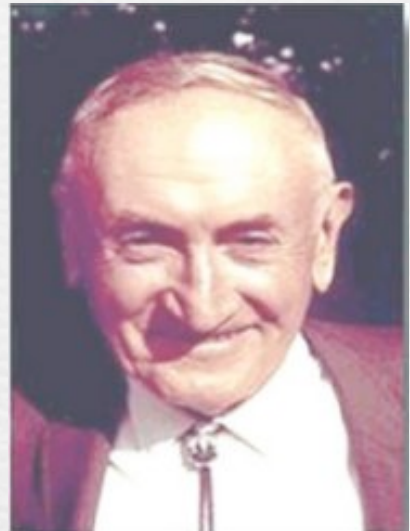
**Algumas sugestões de reviews:**

<https://www.annualreviews.org/doi/abs/10.1146/annurev.astro.39.1.137>

<https://academic.oup.com/pasj/article/69/1/R1/2632658>

<https://www.mdpi.com/2075-4434/8/2/47>

# 7.3 A Matéria Escura em Aglomerados de Galáxias

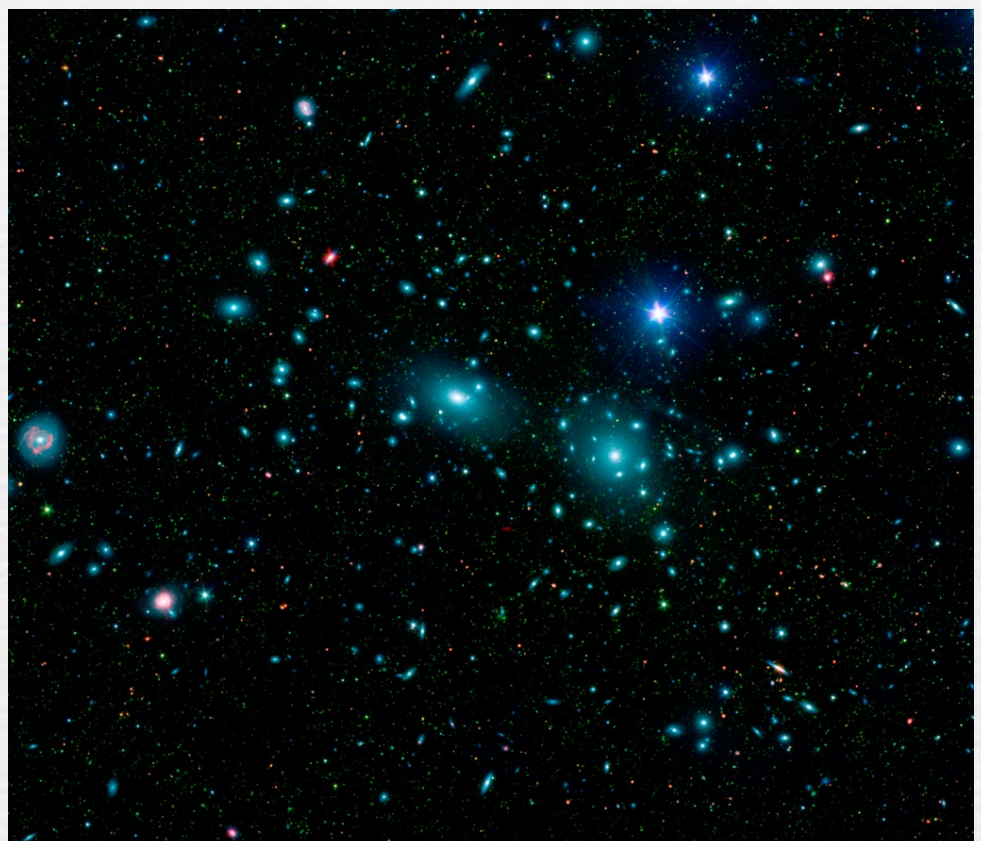


Fritz Zwicky  
(1898-1974)

**Proposta teórica (aplicação do teorema do virial) para evidências da matéria escura: observações do Aglomerado de Coma em 1933.**

$$\sigma_r \sim 1000 \text{ km s}^{-1}$$

**Estrelas e gás não são suficientes para fornecer atração gravitacional que mantenha o aglomerado coeso.**



## 7.3 A Matéria Escura em Aglomerados de Galáxias

aceleração a i-  
ésima galáxia

$$\ddot{\vec{x}} = G \sum_{i \neq j} m_j \frac{\vec{x}_j - \vec{x}_i}{|\vec{x}_j - \vec{x}_i|^3}$$

(aproximação Newtoniana;  
aglomerado isolado; sistema de  
N galáxias “pontuais”)

energia potencial  
gravitacional do  
sistema

$$W = -\frac{G}{2} \sum_{i,j;i \neq j} \frac{m_i m_j}{|\vec{x}_j - \vec{x}_i|}$$

$$W = -\alpha \frac{GM^2}{r_h}$$

$\alpha \approx 0.45$       r\_h = raio à meia-massa  
(ajuste)

energia cinética  
do sistema

$$K = \frac{1}{2} \sum_i m_i |\dot{\vec{x}}_i|^2$$

$$K = \frac{1}{2} M \langle v^2 \rangle$$

$$\langle v^2 \rangle \equiv \frac{1}{M} \sum_i m_i |\dot{\vec{x}}_i|^2$$

velocidade média quadrática

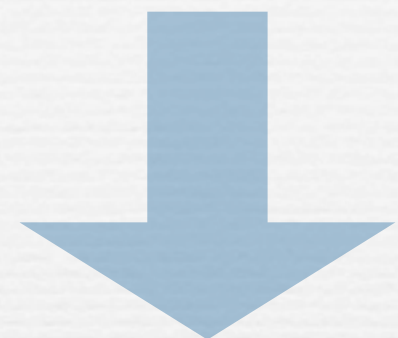
momento de  
inércia do sistema

$$I \equiv \sum_i m_i |\vec{x}_i|^2$$

## 7.3 A Matéria Escura em Aglomerados de Galáxias

momento de  
inércia do sistema

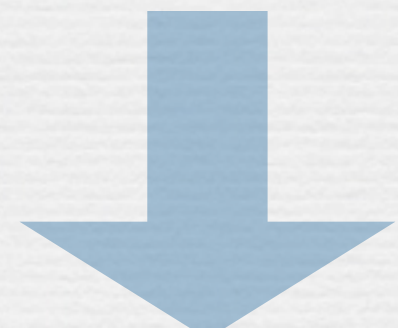
$$I \equiv \sum_i m_i |\vec{x}_i|^2$$



Escrever  $I$  em termos de  $W$  e  $K$   
(pág. 132 de Ryden)

$$\ddot{I} = 2W + 4K$$

**Teorema do Virial**



Sistema em estado estacionário:  
 $I = \text{constante}$ .

Sistema de coordenadas no qual o centro de massa  
do sistema está em repouso.

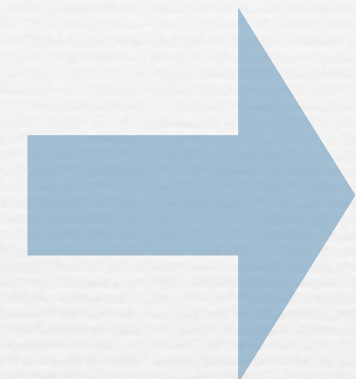
$$W + 2K = 0$$

$$K = -\frac{W}{2}$$

**Teorema do Virial do  
estado estacionário**

## 7.3 A Matéria Escura em Aglomerados de Galáxias

$$W = -\alpha \frac{GM^2}{r_h}$$
$$K = \frac{1}{2}M\langle v^2 \rangle$$
$$K = -\frac{W}{2}$$



Podemos estimar a massa de um sistema gravitacional, assumindo que esteja em estado estacionário.

$$M = \frac{\langle v^2 \rangle r_h}{\alpha G}$$

Similar à eq. da seção anterior:

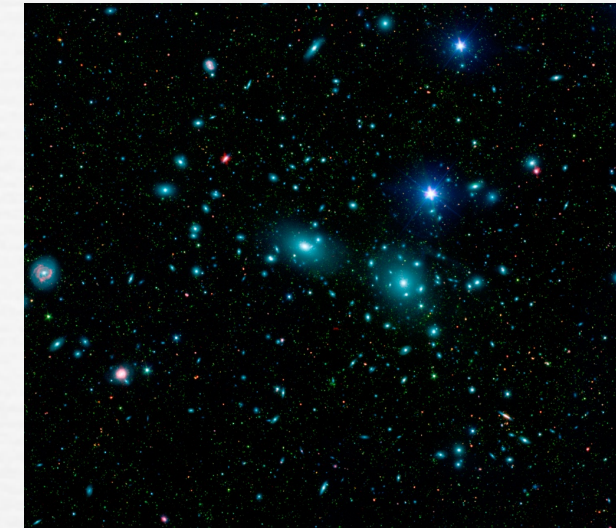
$$M(R) = \frac{v^2 R}{G}$$

**Complicações:** não sabemos  $\langle v^2 \rangle$  e  $r_h$ , pois temos apenas o redshift de cada galáxia (podemos estimar a velocidade na linha de visada), e  $r_h$  é ainda mais difícil de ser estimado.

## 7.3 A Matéria Escura em Aglomerados de Galáxias

**Ex.: aglomerado de Coma.**

$$\langle z \rangle = 0.0232$$



$$d_{\text{Coma}} = \frac{c}{H_0} \langle z \rangle = 102 \text{ Mpc}$$

$$\sigma_r = \langle [v_r - \langle v_r \rangle]^2 \rangle^{1/2} = 880 \text{ kms}^{-1}$$

$$\langle v^2 \rangle = 3\sigma_r = 2.32 \times 10^{12} \text{ m}^2\text{s}^{-2} \quad (\text{assumindo isotropia})$$

$$r_h \approx 1.5 \text{ Mpc} \approx 4.6 \times 10^{22} \text{ m}$$

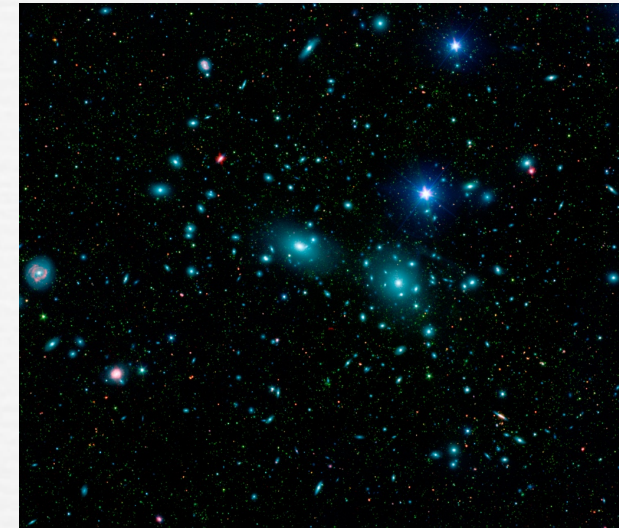
(assumindo M/L constante ao longo do raio; distribuição esférica de massa total)

$$M_{\text{Coma}} \approx 2 \times 10^{15} \text{ M}_\odot$$

## 7.3 A Matéria Escura em Aglomerados de Galáxias

**Ex.: aglomerado de Coma (cont.).**

$$M_{\text{Coma}} \approx 2 \times 10^{15} \text{ M}_\odot \quad (\text{massa total, virial})$$



$$M_{\text{Coma},*} \approx 2 \times 10^{13} \text{ M}_\odot$$

$$M_{\text{Coma,gas}} \approx 2 \times 10^{14} \text{ M}_\odot$$

$$L_{\text{Coma,V}} \approx 5 \times 10^{12} \text{ L}_\odot, V$$

$$\langle M/L_V \rangle_{\text{Coma}} \approx 400 M_\odot / L_{\odot, V}$$

**comparar com:**  $\langle M/L_V \rangle_{\text{MW}} \approx 48 M_\odot / L_{\odot, V}$

## Gás quente (emissor em raios X) no interior de aglomerados de galáxias

Temperatura e densidade do gás podem ser também usados para estimarmos a massa total do aglomerado.

Usamos a equação de equilíbrio hidrostático, considerando que a pressão do gás contrabalança a gravidade:

$$\frac{dP_{gas}}{dr} = -\frac{GM(r)\rho_{gas}(r)}{r^2}$$



<https://chandra.harvard.edu/photo/2019/coma/>

**Gás ideal:**

$$P_{gas} = \frac{\rho_{gas} k T_{gas}}{\mu}$$



massa média por partícula de gás, assumimos constante

$$M(r) = \frac{kT_{gas}(r)r}{G\mu} \left( -\frac{d \ln \rho_{gas}}{d \ln r} - \frac{d \ln T_{gas}}{d \ln r} \right)$$

## Gás quente (emissor em raios X) no interior de aglomerados de galáxias (cont.)

$$M(r) = \frac{kT_{gas}(r)r}{G\mu} \left( -\frac{d \ln \rho_{gas}}{d \ln r} - \frac{d \ln T_{gas}}{d \ln r} \right)$$



<https://chandra.harvard.edu/photo/2019/coma/>

**Raios X:** emissão bremsstrahlung (aceleração de elétrons livres por prótons e núcleos de He), e emissão de linha do Fe (e outros elementos pesados) altamente ionizados.

São feitos ajustes de modelos para o espectro em raios X, para obtemos a temperatura, densidade e composição química do gás.

$$M_{\text{Coma}} \approx 1.3 \times 10^{15} \text{ M}_\odot \quad (r \lesssim 4 \text{ Mpc})$$

compatível com estimativa pelo teorema do virial

Estimativas similares para outros aglomerados, gerando o limite inferior para o parâmetro de densidade de massa total do Universo:

$$\Omega_{\text{aglom},0} \approx 0.2$$

- Algumas referências:

How Rare is the Bullet Cluster?

<https://arxiv.org/abs/astro-ph/0604443>

The non-gravitational interactions of dark matter in colliding galaxy clusters

<https://arxiv.org/abs/1503.07675>

## 7.4 Lentes Gravitacionais

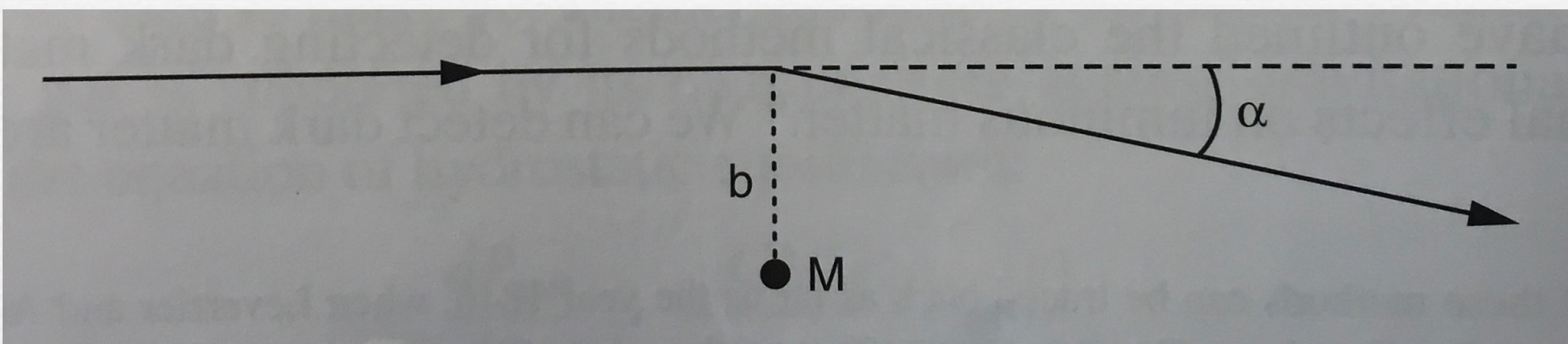
Até o momento, estudamos os métodos clássicos para a detecção da matéria escura através de seus efeitos gravitacionais sobre a matéria luminosa.

De acordo com a RG, a matéria escura também afetará a trajetória dos fótons: a luz poderá ser “curvada” e “focalizada”.

“Lentes gravitacionais”

# “MACHO”: MAssive Compact Halo Objects

**Matéria (escura) bariônica:** estrelas anãs brancas frias, buracos negros, anãs marrons, ou qualquer objeto compacto com baixíssima luminosidade no halo da nossa (ou de outras) galáxia(s).



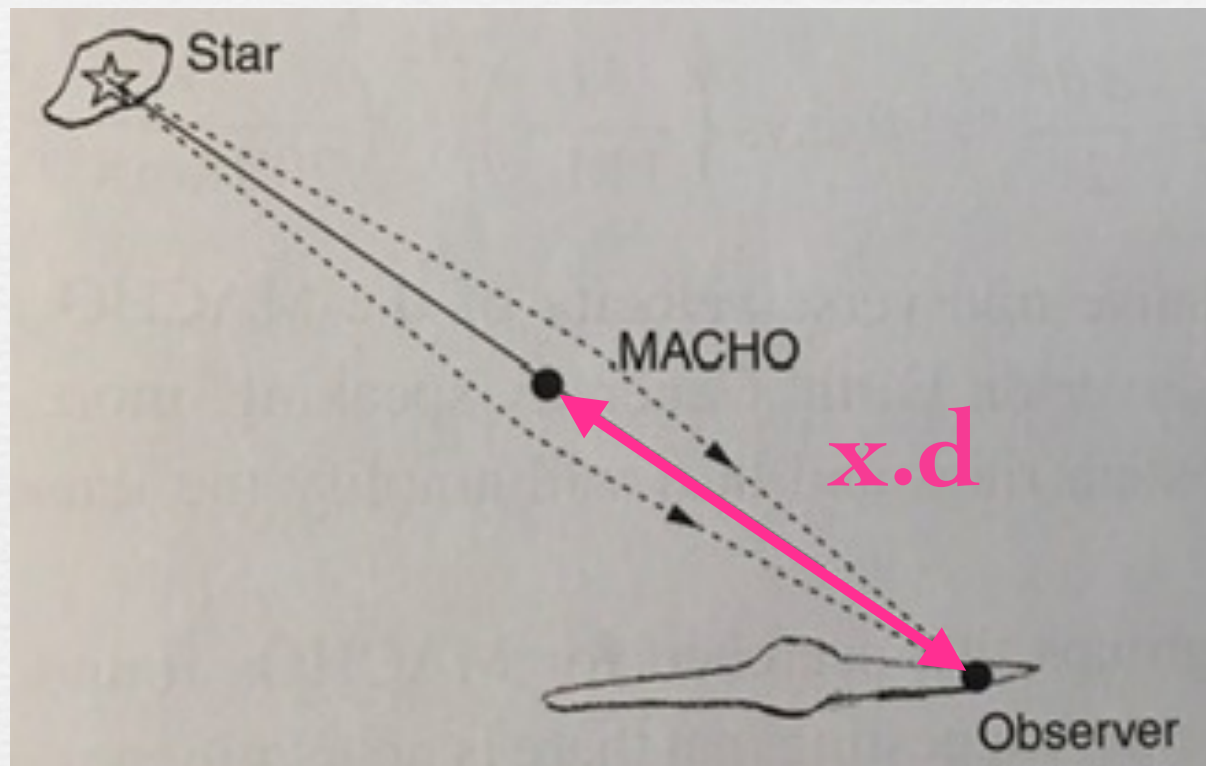
$$\alpha = \frac{4GM}{c^2 b}$$

Ryden (Introduction to Cosmology)

**Ex:** luz de uma estrela passando muito próxima da superfície do Sol.

$$\alpha = \frac{4GM_\odot}{c^2 R_\odot} = 1.7 \text{ arcsec}$$

# “MACHO”: MAssive Compact Halo Objects



Ryden (Introduction to Cosmology)

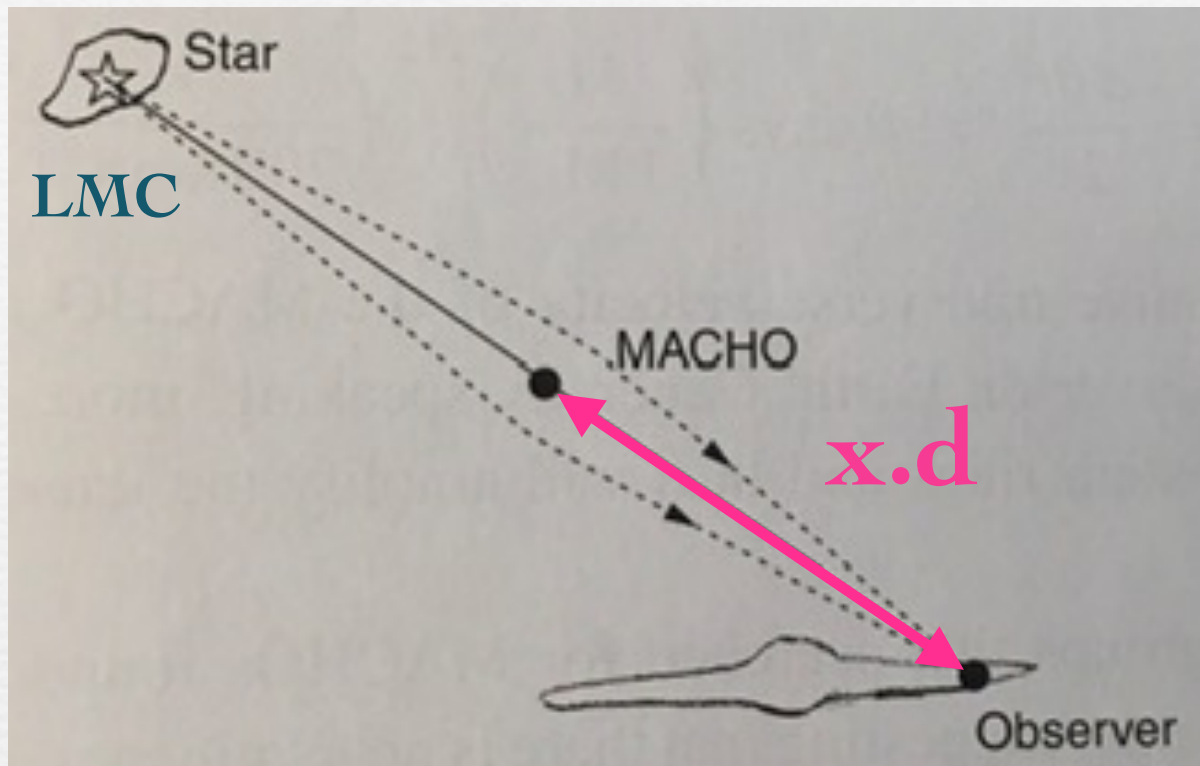
**Alinhamento perfeito estrela-MACHO-observador gerará um anel luminoso, com raio angular de (raio de Einstein):**

$$\theta_E = \left( \frac{4GM}{c^2d} \frac{1-x}{x} \right)^{1/2}$$

$$(0 < x < 1)$$

**MACHOs mais massivos produzem raios de Einstein maiores, para uma dada distância fixa.**

# “MACHO”: MAssive Compact Halo Objects



Ryden (Introduction to Cosmology)

Para  $x \approx 0.5$  :

$$\theta_E \approx 4 \times 10^{-4} \text{ arcsec} \left( \frac{M}{1 \text{ M}_\odot} \right)^{1/2} \left( \frac{d}{50 \text{ kpc}} \right)^{-1/2}$$

Dado o pequeno tamanho do raio de Einstein, a **probabilidade** de uma estrela qualquer da LMC, num tempo qualquer, formar uma lente é de:

$$P \sim 5 \times 10^{-7}$$

A **escala de tempo** típica para um evento de lente gravitacional é o tempo necessário para um MACHO atravessar uma distância angular igual ao raio de Einstein, tal como visto pelo observador. No caso do observador na Terra e um MACHO a meia distância da LMC, temos:

$$\Delta t = \frac{d\theta_E}{2v} \approx 90 \text{ dias} \left( \frac{M}{1 \text{ M}_\odot} \right)^{1/2} \left( \frac{v}{200 \text{ km s}^{-1}} \right)^{-1}$$

**MACHOs mais massivos mantêm a lente por mais tempo, para um dado v fixo.**

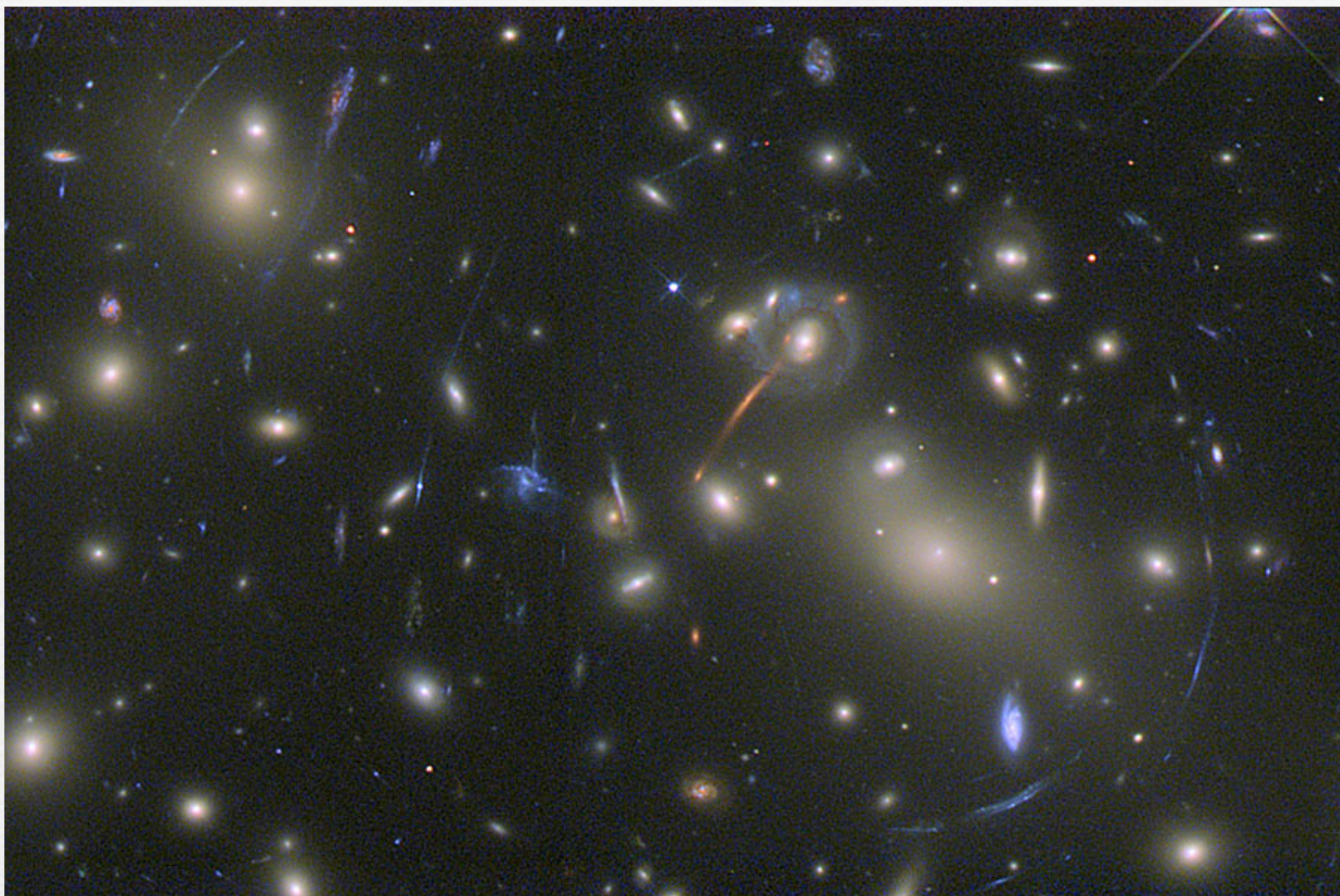
$v$  = velocidade relativa de trânsito MACHO - estrela

## “MACHO”: MAssive Compact Halo Objects

### RESULTADOS OBSERVACIONAIS:

- Poucos eventos de curta duração, sugerindo que a população de anãs marrons ou planetas livres, com massa menor do que  $0.08 M_{\text{sol}}$ , é muito pequena no halo da nossa Galáxia.
- Número total de eventos de lentes sugerem que no máximo 8% da massa do halo está na forma de MACHOs, indicando presença de matéria escura não-bariônica, distribuída de forma mais suavizada do que a de MACHOs.

## Aplicação em aglomerados de galáxias



Abel 2218

$z = 0.176$

$d = 740 \text{ Mpc}$

$$\theta_E \approx 0.5 \text{ arcmin} \left( \frac{M}{10^{14} M_\odot} \right)^{1/2} \left( \frac{d}{1000 \text{ Mpc}} \right)^{-1/2}$$

## 7.4 Lentes Gravitacionais

- Algumas referências:

**Review:**

<https://arxiv.org/abs/1010.3829>

**Gravitational-lensing measurements push Hubble-constant discrepancy past  $5\sigma$**

<https://physicstoday.scitation.org/do/10.1063/PT.6.1.20200210a/full/>

<https://arxiv.org/abs/1907.04869>

# 7.5 A Natureza da Matéria Escura

## O que é?

Algumas possibilidades:

- Axions
- Buracos negros primoriais
- Neutrinos massivos
- Partículas supersimétricas massivas
- WIMPs (weakly interacting massive particles)

etc....

**Axions**

$$m_{\text{ax}} c^2 \sim 10^{-5} \text{ eV} \leftrightarrow m_{\text{ax}} \sim 2 \times 10^{-41} \text{ kg}$$

$$m_{e^-} \sim 9 \times 10^{-31} \text{ kg}$$

**BHs primordiais**

$$m_{\text{BH}} \sim 10^5 M_\odot \leftrightarrow m_{\text{BH}} \sim 2 \times 10^{35} \text{ kg}$$

$$M_\oplus \sim 6 \times 10^{24} \text{ kg}$$

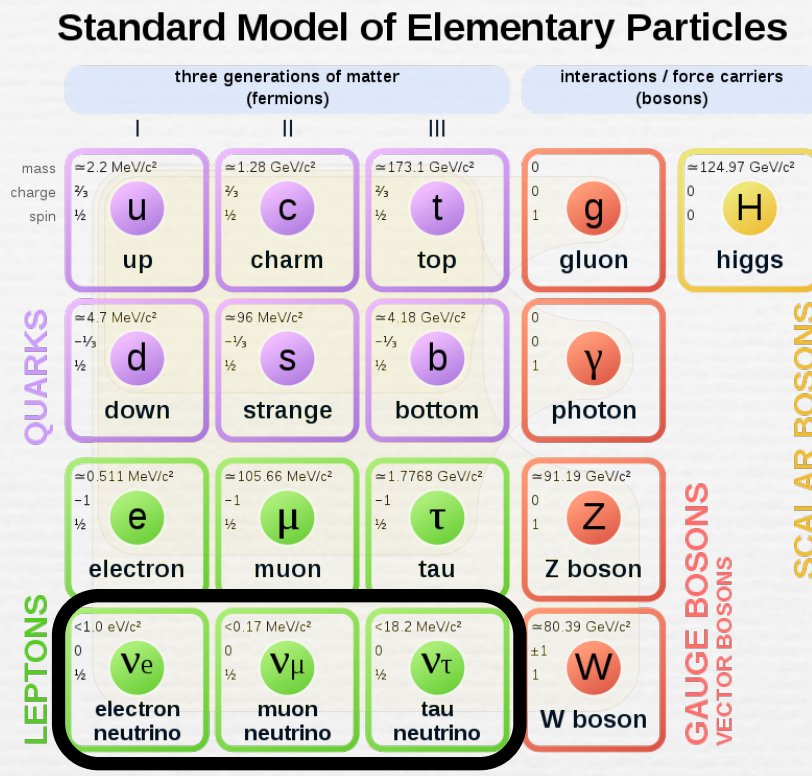
“É um sinal da vasta ignorância sobre a matéria escura não-bariônica que dois candidatos diferem em massa em 76 ordens de magnitude.”

# Neutrinos massivos

(Sabemos que existem...)

Ex.: neutrinos cósmicos de fundo

$$n_\nu = \frac{3}{11} n_\gamma = \frac{9}{11} 4.108 \times 10^8 \text{ m}^{-3} = 3.36 \times 10^8 \text{ m}^{-3}$$



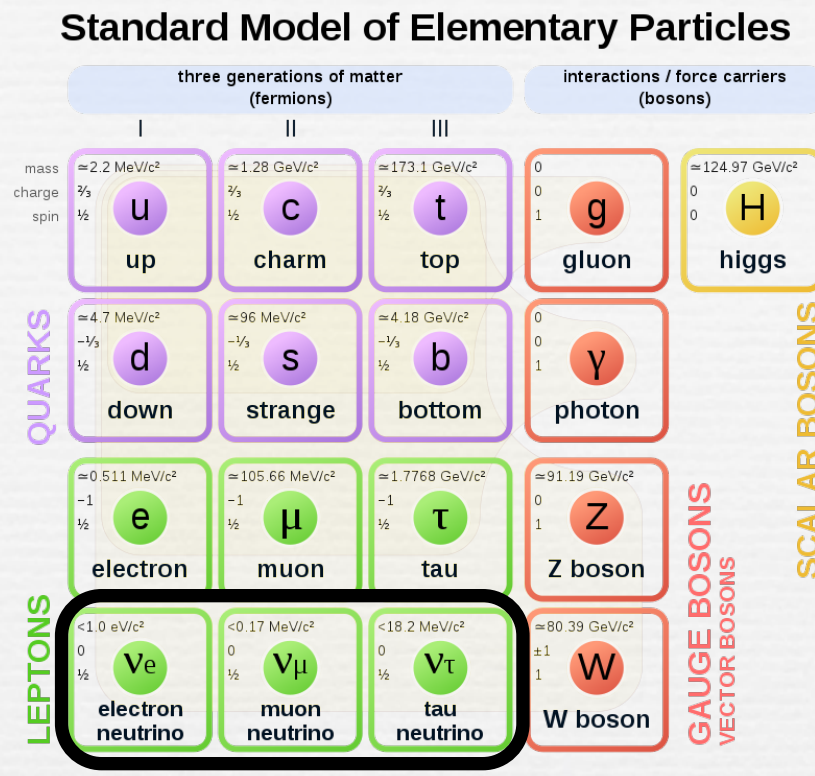
# Neutrinos massivos

(Sabemos que existem...)

Ex.: neutrinos cósmicos de fundo

$$n_\nu = \frac{3}{11} n_\gamma = \frac{9}{11} 4.108 \times 10^8 \text{ m}^{-3} = 3.36 \times 10^8 \text{ m}^{-3}$$

Para fornecerem toda a massa não-bariônica, a massa média do neutrino teria que ser:



$$m_\nu c^2 = \frac{\Omega_{\text{DM},0} \epsilon_{c,0}}{n_\nu} \approx 3.8 \text{ eV}$$

$$\Omega_{\text{DM},0} \approx 0.262$$

# Neutrinos massivos

(Sabemos que existem...)

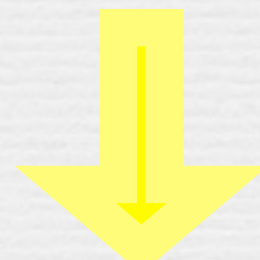
Ex.: neutrinos cósmicos de fundo

$$n_\nu = \frac{3}{11} n_\gamma = \frac{9}{11} 4.108 \times 10^8 \text{ m}^{-3} = 3.36 \times 10^8 \text{ m}^{-3}$$

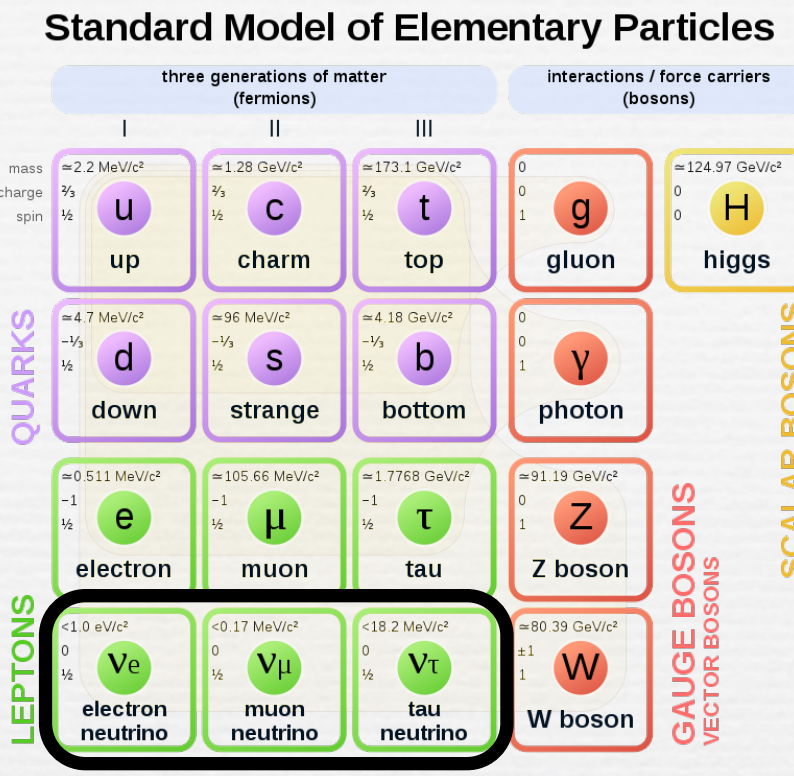
Para fornecerem toda a massa não-bariônica, a massa média do neutrino teria que ser:

Estudos da oscilação de neutrinos (Eqs. 2.25 e 2.26, Ryden) indicam:

$$0.019 \text{ eV} < m_\nu c^2 < 0.1 \text{ eV}$$



$$0.0013 < \Omega_{\nu,0} < 0.007$$



$$m_\nu c^2 = \frac{\Omega_{\text{DM},0} \epsilon_{c,0}}{n_\nu} \approx 3.8 \text{ eV}$$

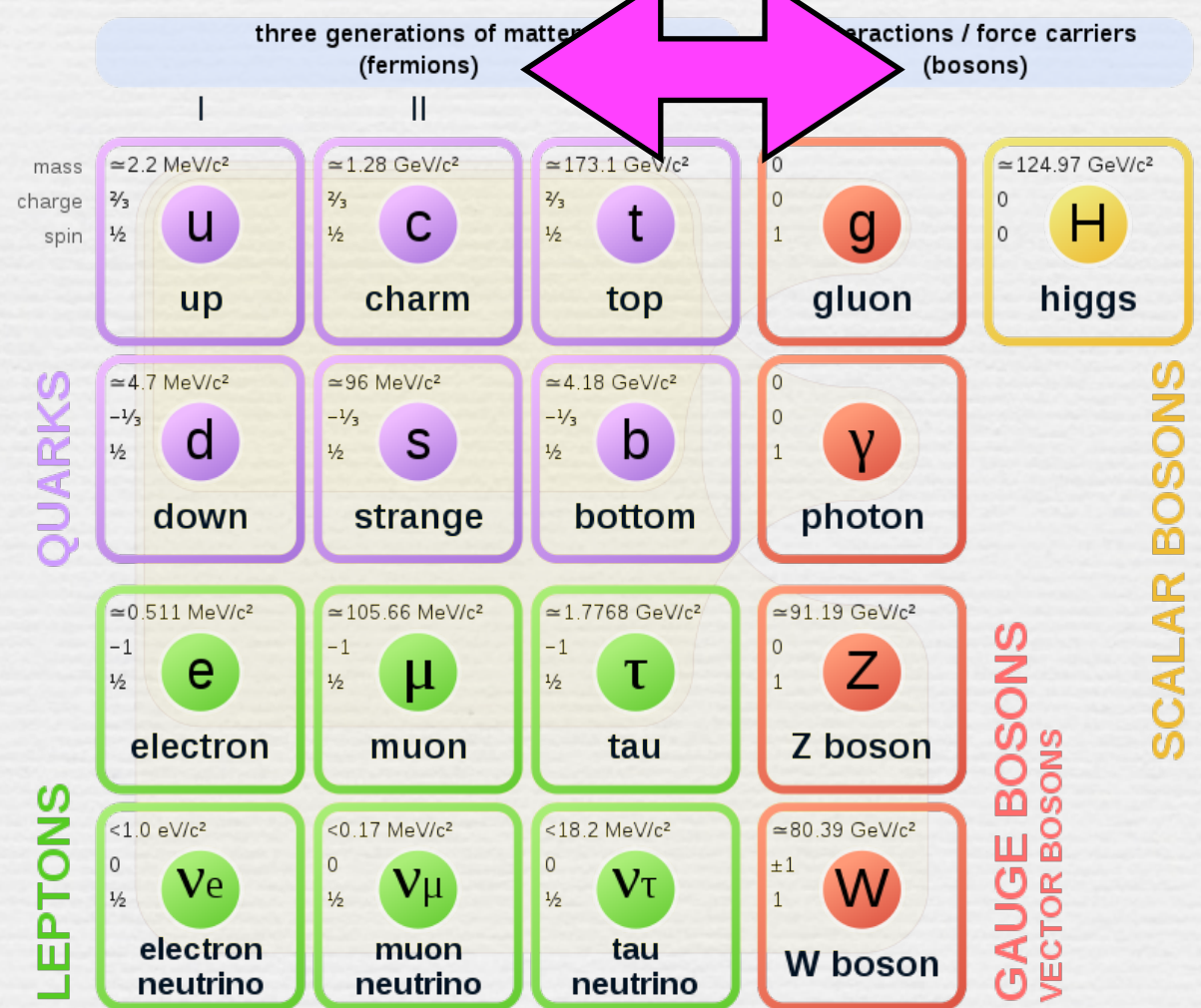
$$\Omega_{\text{DM},0} \approx 0.262$$

$$\Omega_{\nu,0} \lesssim 3\% \Omega_{\text{DM},0}$$

## 7.5 A Natureza da Matéria Escura

- Axions
- Buracos negros primoriais
- Neutrinos massivos
- **Partículas supersimétricas massivas (fotinos, gravitinos, axinos, sneutrinos, gluinos, etc...)**

Standard Model of Elementary Particles



- Axions
- Buracos negros primordiais
- Neutrinos massivos
- Partículas supersimétricas massivas
- WIMPs (weakly interacting massive particles): interagem via gravitação e força nuclear fraca, interagindo raramente com núcleos atômicos; são bem mais massivos do que os neutrinos.  
etc....

## 7.5 A Natureza da Matéria Escura

- lista de experimentos atuais para detectar a matéria escura:

[https://en.wikipedia.org/wiki/  
Category:Experiments\\_for\\_dark\\_matter\\_search](https://en.wikipedia.org/wiki/Category:Experiments_for_dark_matter_search)

- Densidade comóvel de SMBH:

<https://academic.oup.com/mnras/article/359/4/1363/1007699>

- Review e status atual da supersimetria:

<https://arxiv.org/abs/1712.05926> (TASI lectures)  
[https://en.wikipedia.org/wiki/Supersymmetry#Current\\_status](https://en.wikipedia.org/wiki/Supersymmetry#Current_status)

# Fundamentos de Cosmologia

*Aula 7*

## Concluída

AST-413-4 - INPE - 2020-3

Prof. Dr. Carlos Alexandre Wuensche  
Prof. Dra. Christine Córdula Dantas